

## ФОТОЛЮМИНЕСЦЕНЦИЯ НЕЛЕГИРОВАННОГО ПОЛУИЗОЛИРУЮЩЕГО АРСЕНИДА ГАЛЛИЯ, ТЕРМООБРАБОТАННОГО ПРИ ИЗБЫТОЧНОМ ДАВЛЕНИИ ПАРОВ МЫШЬЯКА

Чао Чень, В. А. Быковский,<sup>1</sup> М. И. Тарасик<sup>2</sup>

Сямыньский университет, 361005, Сямынь, Китайская народная республика

<sup>1</sup> Минский научно-исследовательский институт радиоматериалов, 220115, Минск, Беларусь

<sup>2</sup> Белорусский государственный университет, 220050, Минск, Беларусь

(Получена 31 мая 1993 г. Принята к печати 31 мая 1993 г.)

Исследована низкотемпературная фотолюминесценция ( $T = 4.2$  К) нелегированного полуизолирующего GaAs, выращенного при низком давлении и термообработанного ( $T = 950$  °C,  $t = 5$  ч) при контролируемом давлении паров мышьяка. Получены зависимости интенсивности полос и линий люминесценции с участием акцепторов углерода и глубоких акцепторов  $E_a = -68$  мэВ от давления паров мышьяка. Анализ результатов с использованием квазихимических реакций комплексообразования при отжиге позволил интерпретировать глубокий акцептор как двойную вакансию галлия ( $V_{Ga}$ )<sub>2</sub>.

Полуизолирующие, специально не легированные глубокими примесями монокристаллы GaAs являются практическим материалом, используемым при создании интегральных схем и приборов. Экспериментальные исследования показывают, что, используя термическую обработку таких кристаллов, можно улучшить электрофизические параметры и добиться лучшей однородности слитков [1, 2]. В результате изменения концентрации и перестройки собственных дефектов и примесных центров в материале под действием внешних воздействий происходит изменение макроскопических параметров. В полуизолирующем (ПИ) GaAs, выращенном методом Чохральского при низком давлении инертного газа, основными собственными дефектами являются вакансии галлия  $V_{Ga}$  и глубокий центр  $EL2$  [1]. Мелкие примесные центры обусловлены остаточными донорами кремния  $Si_{Ga}$  и акцепторами углерода  $C_{As}$  [1]. Свойства ПИ GaAs определяются взаимодействием собственных дефектов и мелких остаточных примесей. В настоящей работе представлены результаты исследования спектров фотолюминесценции кристаллов ПИ GaAs после термообработки при контролируемом давлении паров As<sub>2</sub>. Проведен анализ зависимостей интенсивности ряда линий и полос люминесценции от условий обработки и установлены оптимальные режимы отжига кристаллов.

### Объекты исследований и методика эксперимента

Исследуемые монокристаллы полуизолирующего специально не легированного мелкими и глубокими примесями  $n$ -GaAs были получены методом Чохральского на усовершенствованной установке низкого давления типа ТДК-40 в Шанхайском металлургическом институте АН КНР. Чистота источников сырья составляла 6N для Ga, As и 5N для флюса B<sub>2</sub>O<sub>3</sub>. Кристаллы растились в тиглях из пиролитического BN из жидкого расплава GaAs под слоем флюса

в атмосфере азота при  $P = 2-2.5$  атм. Скорость роста кристаллов составляла  $\sim 6$  мм/ч, охлаждения —  $60^{\circ}\text{C}/\text{ч}$  при диаметре слитка  $50 \pm 3$  мм. Стехиометрическое соотношение составляло  $[\text{As}]/([\text{Ga}] + [\text{As}]) = 0.498$ . Выращенные кристаллы  $n$ -типа характеризуются удельным сопротивлением  $\rho = 10^7-10^8$  Ом·см, холловской подвижностью  $\mu = (3-7) \cdot 10^3$  см $^2$ /(В·с) и плотностью дислокаций  $N_D \sim 4 \cdot 10^4$  см $^{-2}$ .

Отжиг образцов осуществлялся в запаянной кварцевой ампуле в двухзонной печи. Давление паров мышьяка определялось температурой холодной зоны, где находился источник As. Термообработка проводилась в течение 5 ч при  $T = 950^{\circ}\text{C}$ .

Электрофизические параметры образцов определялись из измерения эффекта Холла. Для определения концентрации глубокого центра  $EL2$  исследовалось оптическое поглощение при  $\lambda = 1.06$  мкм и  $T = 80$  К. Спектры фотoluminesценции (ФЛ) в спектральном диапазоне 1.05—1.55 эВ исследовались при  $T = 4.2$  К с использованием дифракционного спектрометра и охлаждаемого фотоэлектронного умножителя. Возбуждение образцов осуществлялось светом Хе-лампы высокого давления с использованием фильтров при плотности мощности возбуждения до 2 Вт/см $^2$ . Основные параметры исследованных образцов приведены в таблице.

Параметры образцов термообработанного ПИ GaAs

$P_{\text{As}_2}$ , атм	$\rho \cdot 10^{-7}$ , Ом·см	$\mu$ , см $^2$ /(В·с)	$n \cdot 10^8$ , см $^{-3}$	$N_{EL2} \cdot 10^{-16}$ , см $^{-3}$
0	1.8	4900	7.09	1.6
1.3	7.2	4300	2.02	3.0
4.9	5.98	4740	2.21	2.3
6.9	5.83	4860	2.21	1.5

### Экспериментальные результаты и их обсуждение

Спектры ФЛ образцов, термообработанных при различных давлениях паров  $\text{As}_2$ , представлены на рис. 1. Основными по интенсивности в спектрах ФЛ образцов, термообработанных при отсутствии навески  $\text{As}_2$  ( $P_{\text{As}_2} \approx 0$ ), являются полосы примесных ( $e-A^0$ ) и межпримесных ( $D^0-A^0$ ) переходов в области энергий 1.480—1.498 эВ. Энергетическое положение этих полос (рис. 1, b, d) позволяет идентифицировать остаточные акцепторы с атомами углерода в узлах мышьяка  $C_{\text{As}}$  [3]. В низкоэнергетической области присутствует полоса излучения 1.363 эВ, обусловленная глубокими акцепторами меди  $\text{Cu}_{\text{Ga}}$  (рис. 1, a, c). В области экситонных переходов 1.500—1.517 эВ наблюдаются линии свободного экситона  $X$  и экситонов, связанных на мелких остаточных донорах ( $D^0, X$ ) и акцепторах ( $A^0, X$ ) (рис. 1, b, d). Все эти полосы и линии излучения (за исключением полосы меди) характерны для совершенных ПИ кристаллов GaAs, выращенных методом Чохральского под слоем флюса. Для представленных здесь образцов, кроме того, проявляются нетрадиционные линии 1.5099 ( $X_1$ ), 1.5077 эВ ( $X_2$ ) и полоса излучения 1.452 эВ ( $A_1$ ) (рис. 1, b, d). Аналогичные полосы наблюдались в [4] при исследовании влияния термического отжига и закалки на циклирование электрофизическими параметров ( $\varphi, n$ ) GaAs, полученного методом Чохральского при низком давлении. Детальная структура этого излучения приведена на рис. 1, b.

Энергетическое положение 1.452 эВ наблюдаемой нами полосы  $A_1$  соответствует рассчитанному в [4] примесному переходу ( $e-A_1$ ). Проявление этого перехода в наших спектрах ФЛ, а не межпримесного ( $D^0-A_1$ ), как в [4], возможно, связано с более высоким уровнем возбуждения  $\sim 2$  Вт·см $^{-2}$ . Это позволяет интерпретировать полосу  $A_1-1.452$  эВ как переход через акцеп-

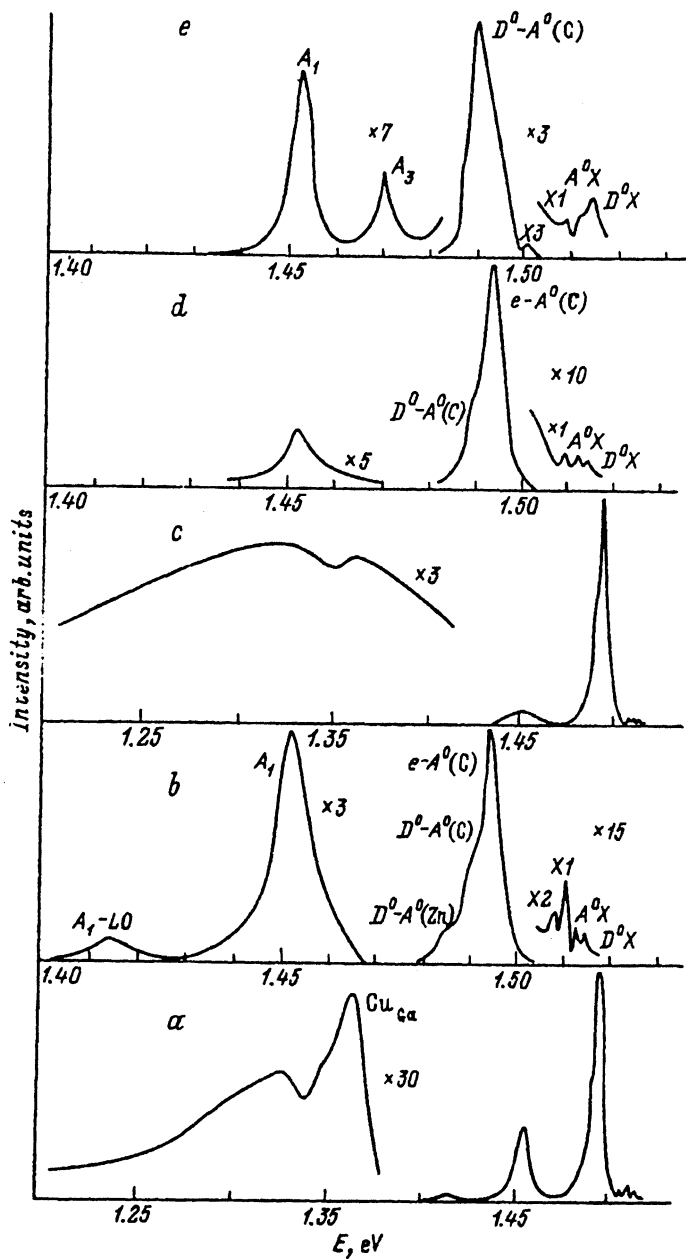


Рис. 1. Спектры фотолюминесценции при  $T = 4.2$  К образцов термообработанного ПИ GaAs.  $T_{app} = 950$  °C,  $t = 5$  ч.

торный уровень и определить  $E_a = 68$  мэВ. Энергетическое положение и полуширина линий  $X1$ ,  $X2$  позволяют связать их с рекомбинацией экситонов, связанных на глубоких акцепторах. Линии  $X1$ ,  $X2$  неплохо соответствуют эмпирической зависимости энергии излучательного перехода от глубины залегания акцептора (рис. 2).

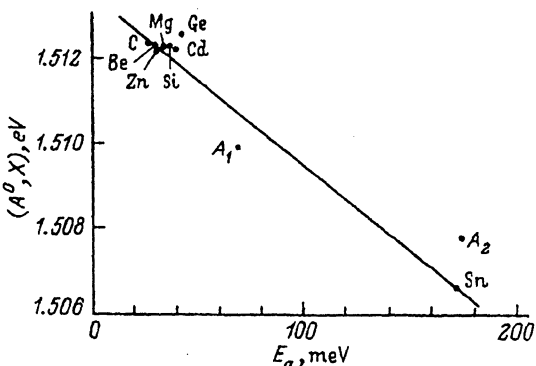
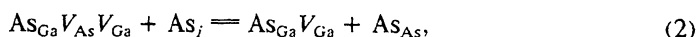
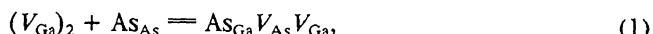


Рис. 2. Эмпирическая зависимость энергии излучательных переходов экситонов, связанных на акцепторах в GaAs, от глубины залегания акцепторов.

Энергии переходов ( $A^0$ ,  $X$ ) для мелких акцепторов взяты из [3]. Энергии переходов  $X1$ ,  $X2$  и энергии ионизации акцепторов взяты из [4] и данной работы.

Термообработка образцов при избыточном давлении паров  $As_2$  приводит к изменению интенсивности ряда полос и линий излучения. На рис. 3 представлены зависимости интенсивности полос примесных переходов ( $e-A^0$ ) с участием акцепторов углерода, полосы  $A_1$  и линии  $X1$  от давления паров  $As_2$ . Несмотря на то что до сих пор нет единого мнения о структуре центра  $EL2$ , достоверно, однако, что в его состав входит  $As_{Ga}$  [5]. Предположив, что  $EL2 = As_{Ga}V_{As}V_{Ga}$ , можно хорошо объяснить многие экспериментальные результаты. Подробный анализ реакций, протекающих при термообработке полузолирирующего GaAs, представлен в [6]. Рассмотрим квазихимические реакции комплексообразования, протекающие в образцах ПИ GaAs при отжиге в атмосфере  $As_2$  с учетом того, что по условиям роста в кристаллах присутствует высокая концентрация вакансий галлия  $V_{Ga}$



Зависимость  $N_{EL2}$  от  $P_{As_2}$ , рассчитанная согласно приведенным выше соотношениям, представлена на рис. 3, a, где точками изображены экспериментальные результаты. Как видно, теоретическая зависимость достаточно хорошо согласуется с экспериментальной и максимум  $N_{EL2}$  наблюдается при  $P_{As_2} \approx 1$  атм.

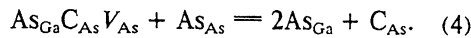
Используя соотношения (1)–(3), можно объяснить зависимость интенсивности полос  $A_1$  и  $X1$  от величины  $P_{As_2}$  (рис. 3, b, d) в предположении, что акцептор, через который в обоих случаях осуществляется рекомбинация, – двойная вакансия галлия  $(V_{Ga})_2$ . На первоначальном этапе ( $P_{As_2} \approx 1$  атм) идет реакция (1) с образованием глубоких центров  $(As_{Ga}V_{As}V_{Ga})$  вследствие чего уменьшается концентрация  $(V_{Ga})_2$  и соответственно интенсивность полос 1.452 и 1.5099 эВ. При этом максимальное значение концентрации  $N_{EL2}$  соответствует минимальной интенсивности исследуемых полос. Далее, с увеличением  $P_{As_2}$  осуществляются реакции (2) и (3) в результате чего уменьшается концентрация

Рис. 3. Зависимость концентрации центров  $EL2$  и интенсивности полос и линий излучения от давления паров мышьяка.

$a - EL2$ ,  $b - A_1$  (1.452 эВ),  $c - XI$  (1.5099 эВ),  $d - \nu - A^0$  (C) (1.494 эВ).

группы  $EL2$  и снова образуется комплекс  $(V_{Ga})_2$ . Очевидно, в области  $P_{As_2} = 2 \div 5$  атм процессы (1) и (3) компенсируют друг друга и в зависимости интенсивности полос от  $P_{As_2}$  практически наблюдается плато, а при  $P_{As_2} > 5$  атм процесс (3) превалирует и замечен рост интенсивности полос.

Зависимость интенсивности полосы ( $e - A^0$ ) — 1.494 эВ от величины  $P_{As_2}$  (рис. 3, d) определяет концентрация остаточных акцепторов  $C_{As}$ , которая изменяется в образце согласно схеме, предложенной в [7, 8]. При относительно небольших давлениях ( $P_{As_2} < 1.5$  атм)  $As_{As}$  взаимодействует с дефектами  $As_{Ga}C_{As}V_{As}$  ( $ETX-2$  группой  $EL2$ )



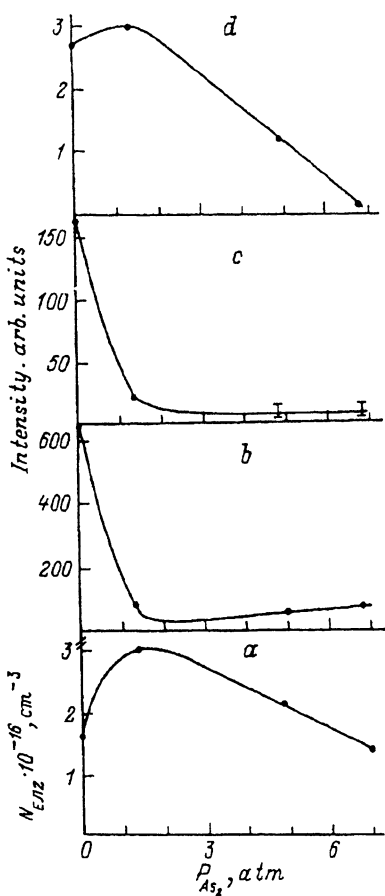
В результате взаимодействия образуется  $C_{As}$ , увеличивающий интенсивность полосы 1.494 эВ. При  $P_{As_2} > 1.5$  атм возрастает концентрация междуузельного мышьяка  $As_i$ , который вытесняет углерод в узлах мышьяка  $C_{As}$  в междуузлии  $C_i$  и занимает свое место в решетке



Такой процесс приводит к уменьшению концентрации оптически активного углерода, а это в свою очередь — к уменьшению интенсивности наблюданной полосы, что видно экспериментально.

О влиянии давления паров мышьяка на концентрацию и перестройку глубоких акцепторов указывают появление новой полосы  $A_3$  — 1.470 эВ и линии  $X3$  — 1.5005 эВ после термообработки при  $P_{As_2} = 6.9$  атм (рис. 1, e). Полосу  $A_3$  можно объяснить переходом на акцептор с  $E_a = 50$  мэВ.

Таким образом, из приведенных результатов следует, что зависимость интенсивностей линий и полос люминесценции полуизолирующего легированного GaAs от давления паров мышьяка объясняется квазихимическими реакциями, протекающими в объеме полупроводника при термообработке. При этом экспериментальные результаты для полос 1.494, 1.452 и 1.5099 эВ хорошо коррелируют с предложенной схемой реакций, если мелкий акцептор —  $C_{As}$ , а для полос  $A_1$  и  $XI$  рекомбинация осуществляется на глубоком акцепторе  $E_a = 68$  мэВ, представляющем двойную вакансию галлия  $(V_{Ga})_2$ .



В заключение авторы выражают искреннюю благодарность Мо Пэйгэнь и У. Цзюй за выращенные ими кристаллы и любезно предоставленные для исследований образцы.

#### СПИСОК ЛИТЕРАТУРЫ

- [1] М. Г. Мильвидский, В. Б. Освенский, Л. Н. Шершакова. Изв. вузов. Физика, № 10, 5 (1983).
- [2] Chen Chao, Guo Denghui, Mo Peigen, Wu Ju, Zhang Shenghao, Harry E. Ruda, Zhuang Weihna. Study on the Surface photovoltage spectrum of Si-GaAs. VII Conf. on Semi-Insulating III—V — Materials. Ixtapa, Mexico (1992).
- [3] D. I. Ashen, P. J. Dean, D. T. J. Hurle, J. B. Mallin, A. M. White, P. D. Greene. J. Phys. Chem. Sol., 36, 1041 (1975).
- [4] P. W. Yu, D. Cr. Look, W. Fond. J. Appl. Phys., 562, 2960 (1987).
- [5] Zou Yuanxi. 1982 Gallium Arsenide and Related Compounds (Inst. Phys. Conf. Ser. N 63), 185 (1981).
- [6] Wu Ju, Zou Yuanxi, Mo Peigen. Mater. Lett., 5, 29 (1986).
- [7] M. Tanguchi, T. Ikowa. J. Appl. Phys., 54, 6448 (1983).
- [8] Zou Yuanxi. Research and Progress of SSR, 7, 319 (1987).

Редактор В. В. Чалдышев

---